arXiv:math/0701443v1 [math.NT] 16 Jan 2007

LE COMPLEXE MOTIVIQUE DE DE RHAM

Florence LECOMTE et Nathalie WACH

Strasbourg

ABSTRACT. Sur un corps de caractéristique 0, *nous construisons un complexe motivique de De Rham qui permet de généraliser la cohomologie de De Rham d'une variété lisse à tout motif au sens de Voevodsky.*

Introduction

Sur un corps de caractéristique 0, nous disposons grâce aux travaux de Voevodsky de la catégorie triangulée tensorielle $\mathbf{DM}^-(k)$ des complexes motiviques et de sa sous-catégorie pleine $\mathbf{DM}_{\mathrm{gm}}(k)$ des motifs géométriques. La catégorie $\mathbf{DM}_{\mathrm{gm}}(k)$ est engendrée comme catégorie triangulée par les motifs des schémas projectifs lisses. Utilisant cette description, Annette Huber [H00] a défini un foncteur de $\mathbf{DM}_{\mathrm{gm}}(k)$ vers la catégorie des réalisations mixtes qu'elle a construite dans [H95].
Dans ce travail, nous proposons une définition de la réalisation de De Rham d'un complexe motivique $\mathbf{M}$ de $\mathbf{DM}^-(k)$ qui étend la composante de De Rham des réalisations de A.Huber. Plus précisément, nous construisons un complexe motivique $\mathbf{\Omega}^\bullet$, ind-objet de la catégorie $\mathbf{DM}^-(k)$, appelé complexe motivique de De Rham et qui, par troncature par tout entier n, permet d'obtenir une suite d'objets $\tau_{\leq n}\,\mathbf{\Omega}^\bullet$ de $\mathbf{DM}^-(k)$. On définit alors la réalisation de De Rham d'un objet $\mathbf{M}$ de $\mathbf{DM}^-(k)$ par sa p-ième composante, en posant,

$$H^p_{DR}(\mathbf{M}) = \varinjlim_n \mathrm{Hom}_{\mathbf{DM}^-(k)}(\mathbf{M}, \tau_{\leq n}\,\mathbf{\Omega}^\bullet[p]),$$

pour tout entier p. Le complexe $\mathbf{\Omega}^\bullet$ est défini par

$$\begin{aligned} \mathbf{\Omega}^p(X) &= 0 && \text{si } p \leq 0, \\ &= \Gamma(X, \mathcal{O}_X) && \text{si } p = 0, \\ &= \Gamma(X, \Omega^p_X) && \text{si } p \geq 1, \end{aligned}$$

pour X schéma lisse sur k et Ω^p_X le faisceau des p-formes différentielles sur X. Il représente la cohomologie de De Rham dans le sens que pour X schéma lisse sur k de dimension $\leq n$, on a

$$\mathbf{H}^p_{DR}(X) = \mathrm{Hom}_{\mathbf{DM}^{-,\mathrm{eff}}(k)}(\mathbf{M}(X), \tau_{\leq n}\mathbf{\Omega}^\bullet[p]),$$

où $\mathbf{M}(X)$ est le motif associé à X.

Les complexes motiviques sont construits à partir des faisceaux de Nisnevich avec transferts; la difficulté essentielle de ce travail consiste à munir de transferts les préfaisceaux $X \mapsto \Omega^p_X(X)$ des p-formes différentielles des schémas lisses sur k.

Theoreme
Soient X et Y deux schémas lisses de type fini sur k et soit W une correspondance finie au sens de Voevodsky [V00] de X vers Y. Alors, pour $p \geq 1$, il existe un morphisme

$$\Omega^p_Y(Y) \longrightarrow \Omega^p_X(X)$$

compatible aux compositions des correspondances.

La démonstration repose principalement sur les travaux de Suslin et Voevodsky [SV96]. Mais contrairement à (*loc. cit.*) les faisceaux Ω^p considérés ici ne vérifient pas de descente galoisienne. C'est pourquoi nous avons recours aux travaux de C. Knighten sur les différentielles de Zariski [K73].

Cet article constitue une première étape dans notre travail de généralisation des réalisations des motifs géométriques aux complexes motiviques [LW].

1 Un complexe de faisceaux de Nisnevich

Pour chaque entier $p \geq 1$, on considère le préfaisceau sur la catégorie des schémas lisses sur k défini par

$$\begin{array}{cccc} \mathbf{\Omega}^p : & \mathrm{Sm}(k) & \longrightarrow & \mathcal{A}b \\ & X & \longmapsto & \Omega^p_X(X) \end{array} .$$

Proposition 1.1 $\mathbf{\Omega}^p$ *est un faisceau pour la topologie de Nisnevich, pour tout* $p \geq 1$.

Demonstration : $\mathbf{\Omega}^1$ est un faisceau pour la topologie étale sur $\mathrm{Sm}(k)$. En effet, pour tout schéma X lisse sur k, Ω^1_X est un faisceau pour la topologie de Zariski sur X et il suffit de vérifier (cf [Mi] p50, prop 1.5) que pour tout morphisme étale $X = \operatorname{Spec} A \to Y = \operatorname{Spec} B$ entre des schémas affines sur k, la suite

$$\Omega^1_Y(Y) \longrightarrow \Omega^1_X(X) \rightrightarrows \Omega^1_{X\times_Y X}(X \times_Y X)$$

est exacte.
Les anneaux A et B sont lisses sur k, A est étale sur B, donc $\Omega^1_{B/k}$ est libre sur B et $\Omega^1_{A\otimes_B A/k} = (A \otimes_B A) \otimes_B \Omega^1_{B/k}$ est libre sur $A \otimes_B A$. L'exactitude de la suite s'en déduit directement.
La topologie de Nisnevich étant moins fine que la topologie étale, $\mathbf{\Omega}^1$ est un faisceau pour la topologie de Nisnevich sur $\mathrm{Sm}(k)$.
De même, $\mathbf{\Omega}^p$ est un faisceau pour la topologie étale, par application directe du théorème de changement de base pour les algèbres extérieures (cf [Ma], Appendice C) . On obtient donc un faisceau pour la topologie de Nisnevich. $\diamond$

Corollaire 1.2 *Le complexe* $\mathbf{\Omega}^0 \to \mathbf{\Omega}^1 \to \cdots \to \mathbf{\Omega}^p \to \cdots$ *est un complexe de faisceaux pour la topologie de Nisnevich.*

2 Un théorème de descente

Il s'agit à présent de munir les faisceaux $\mathbf{\Omega}^p$ de transferts. D'après un résultat de Suslin et Voevodsky ([SV96]), tout faisceau vérifiant la propriété de descente galoisienne peut être muni de transferts, via la trace. Or les faisceaux $\mathbf{\Omega}^p$ ne vérifient pas cette propriété, même si l'on se ramène à une base lisse, comme le montre l'exemple ci-dessous (remarque 2.2) transmis par L. Illusie.

Il est néanmoins possible d'adapter la démonstration de [SV96] en généralisant un théorème de Knighten ([K73]) sur le bidual de Ω^p_X en tant que $\mathcal{O}_X$-module, considéré ici comme un faisceau pour la topologie de Zariski sur X.
Nous nous plaçons dans la situation où X est un schéma irréductible et lisse sur k, W la normalisée de X dans une extension galoisienne modérément ramifiée du corps des fonctions $K(X)$ de X, de groupe de Galois G et commençons par construire une application $\Omega^p_W(W) \to \Omega^p_X(X)$, qui coïncide avec la trace lorsque W est lisse.

Theoreme 2.1
Soit X est un schéma irréductible et normal sur k et supposons que W soit la normalisée de X dans une extension galoisienne modérément ramifiée du corps des fonctions $K(X)$ de X, de groupe de Galois G. Notons $(\Omega^p_X)^{**}$ (respectivement $(\Omega^p_W)^{**}$) le bidual de Ω^p_X (respectivement Ω^p_W) en tant que $\mathcal{O}_X$-module (respectivement $\mathcal{O}_W$-module); alors il existe une application naturelle

$$(\Omega^p_X)^{**}(X) \to (\Omega^p_W)^{**}(W),$$

qui induit un isomorphisme $(\Omega^p_X)^{**}(X) \simeq (\Omega^p_W)^{**}(W)^G$.

Remarques 2.2 :
i) C. Knighten ([K73]) en a publié une démonstration détaillée pour Ω^1 dans le cas où k est algébriquement clos et propose également des contre-exemples dans des cas de ramification sauvage.
ii) Lorsque X est lisse sur k, Ω^p_X est un faisceau localement libre sur X et l'application naturelle $\Omega^p_X \to (\Omega^p_X)^{**}$ est un isomorphisme pour tout entier $p \geq 1$; on peut alors définir l'application suivante, que l'on note $\alpha_{W/X}$:

$$\Omega^p_W(W) \to (\Omega^p_W)^{**}(W) \xrightarrow{\frac{1}{\sharp G}\sum_{g\in G} g^*} ((\Omega^p_W)^{**}(W)^G \xrightarrow{\sim} (\Omega^p_X)^{**}(X) \xleftarrow{\sim} \Omega^p_X(X) \quad .$$

iii) *Exemple :* posons $A = k[u,v]$ et $B = A[x,y]/(x^3 - uv^2, y^3 - u^2v, x^2 - yv, y^2 - xu, xy - uv)$; alors B est un anneau libre sur A, l'extension des corps de fractions est une extension galoisienne de degré 3, de groupe de Galois $G = \mu_{\mathbf{3}}$ lorsque k contient les racines troisièmes de l'unité. On peut montrer qu'il existe un élément

primitif (plus précisément $B = A[G](1 + x + y)$), mais $(\Omega^1_{B/A})^G \neq \{0\}$: en effet la forme xdy est invariante par G.

Demonstration : La démonstration est calquée sur celle de C. Knighten ([K73]).
a) Construction de l'application $(\Omega^p_X)^{**}(X) \to (\Omega^p_W)^{**}(W)$
Pour $\mathcal{M}$ et $\mathcal{N}$ deux faisceaux de $\mathcal{O}_X$-modules, notons :
– $\mathcal{H}om_X(\mathcal{M}, \mathcal{N})$ le faisceau $U \mapsto \mathrm{Hom}_{\mathcal{O}_U}(\mathcal{M}_{|U}, \mathcal{N}_{|U})$,
– $\mathcal{A}lt^p_X(\mathcal{M}, \mathcal{N})$ le faisceau associé au préfaisceau $U \mapsto \mathrm{Alt}^p_{\mathcal{O}_U}(\mathcal{M}_{|U}, \mathcal{N}_{|U})$, des formes p-différentielles alternées de $\mathcal{M}$ dans $\mathcal{N}$,
– $\mathcal{D}_k(\mathcal{O}_U, \mathcal{M})$ le faisceau associé au préfaisceau $U \mapsto D_k(\mathcal{O}_X(U), \mathcal{M}_{|U})$, des k-dérivations de $\mathcal{O}_X$ dans $\mathcal{M}$.
Le lemme suivant n'est qu'une réécriture des propriétés universelles des formes différentielles de Kähler (cf [K73], lemme 2, p 67) et des algèbres extérieures.

Lemme 2.3

$$i) \quad (\Omega^1_X)^* = \mathcal{H}om_X(\Omega^1_X, \mathcal{O}_X) = \mathcal{D}_k(\mathcal{O}_X, \mathcal{O}_X)$$
$$ii) \quad (\Omega^p_X)^* = \mathcal{H}om_X(\Omega^p_X, \mathcal{O}_X) = \mathcal{A}lt^p_X(\Omega^1_X, \mathcal{O}_X).$$

Puisque sur un schéma normal les faisceaux duaux sont sans torsion, on peut en donner une description explicite des éléments. Pour tout ouvert U de X, on a

$$(\Omega^1_X)^*(U) = \{D \in D_k(K(X), K(X)) \text{ tel que } \forall x \in U, D(\mathcal{O}_x) \subset \mathcal{O}_x\}$$

et similairement

$$(\Omega^p_X)^*(U) = \{D \in \mathrm{Alt}^p_k(\Omega^1_{K(x)/k}, K(X)) \text{ tel que } \forall x \in U, D((\Omega^1_{X,x})^p) \subset \mathcal{O}_x\}.$$

Puisque $(\Omega^p_X)^{**}(U)$ est sans torsion, l'application naturelle $(\Omega^p_X)^{**}(U) \to \Omega^p_{K(X)/k}$ est injective et la description précédente permet de reconnaître les éléments de $\Omega^p_{K(X)/k}$ provenant de $(\Omega^p_X)^{**}(U)$. Nous pouvons écrire la propriété caractéristique des éléments du bidual

$$(P_1(U)) \qquad (\Omega^1_X)^{**}(U) = \{\omega \in \Omega^1_{K(X)/k} \text{ tel que } \forall x \in U, \forall D \in D_k(\mathcal{O}_x, \mathcal{O}_x), D(\omega) \in \mathcal{O}_x\}$$

et similairement

$$(P_p(U)) \qquad (\Omega^p_X)^{**}(U) = \{\omega \in \Omega^p_{K(X)/k} \text{ tel que } \forall x \in U, \forall D \in \mathrm{Alt}^p_k(\Omega^1_{X,x}, \mathcal{O}_x), D(\omega) \in \mathcal{O}_x\}.$$

C'est la propriété P_1 qui définit les différentielles de Zariski dans [K73].
Comme l'application $f : W \to X$ est dominante, elle induit une extension de corps $K(X) \to K(W)$. Pour construire l'application $(\Omega^p_X)^{**}(X) \to (\Omega^p_W)^{**}(W)$, il suffit de s'assurer que, pour $p \geq 1$, si $\omega \in \Omega^p_{K(X)/k}$ vérifie la propriété $P_p(U)$ pour un certain ouvert U de X, son image ω' par l'application canonique $\Omega^p_{K(X)/k} \to \Omega^p_{K(W)/k}$ vérifie la propriété $P_p(f^{-1}(U))$ sur W.
On utilise le fait que le bidual $(\Omega^p_X)^{**}$ (respectivement $(\Omega^p_W)^{**}$) est un faisceau de modules réflexifs pour la topologie de Zariski sur X (respectivement sur W), c'est-à-dire, pour U ouvert de X, on a

$$(\Omega^p_X)^{**}(U) = \cap_{\mathcal{P} \in U, \dim \mathcal{P} = 1} (\Omega^p_X)^{**}_{\mathcal{P}}$$

et de même pour les ouverts de W. Il suffit alors de montrer la propriété en des points de codimension 1 et, comme X et W sont normaux, les anneaux locaux des points de codimension 1 sont des anneaux de valuation discrète. On se ainsi ramène localement à $X = \mathrm{Spec}\, A$ et $W = \mathrm{Spec}\, B$ où A et B sont des anneaux de valuation discrète (cf [K73]). $\diamond$

b) L'isomorphisme $(\Omega^p_X)^{**}(X) \simeq (\Omega^p_W)^{**}(W)^G$
A nouveau, la démonstration repose sur le fait que $(\Omega^p_X)^{**}$ et $(\Omega^p_W)^{**}$ sont des faisceaux de modules réflexifs et il suffit de montrer l'isomorphisme lorsque $X = \operatorname{Spec} A$ et $W = \operatorname{Spec} B$ où A et B sont des anneaux de valuation discrète. Dans cette situation $\Omega^p_{A/k}$ (resp $\Omega^p_{B/k}$) est un A-module libre de type fini (resp un B-module libre) et s'identifie à son bidual. $\diamond$

3 Transferts

Si X_1 et X_2 sont des schémas lisses sur k et $Z \subset X_1 \times_k X_2$ un sous-schéma fini sur X_1 et surjectif sur une composante irréductible de X_1, il s'agit de construire, pour tout $p \geq 1$, une application $T_Z : \Omega^p_{X_2}(X_2) \to \Omega^p_{X_1}(X_1)$. L'application $Z \hookrightarrow X_1 \times_k X_2 \to X_2$ composée de l'injection et de la projection sur X_2 définit une flèche $\Omega^p_{X_2}(X_2) \to \Omega^p_Z(Z)$. Il suffit de construire une application $T_{Z/X_1} : \Omega^p_Z(Z) \to \Omega^p_{X_1}(X_1)$ pour tout morphisme $Z \to X_1$ fini et surjectif sur une composante irréductible de X_1 et de vérifier la compatibilité de ces applications avec la composition des correspondances.

La suite de cette partie consiste à vérifier que la démonstration de [SV96] s'adapte dans notre situation.

3.1 *Construction de* $T_{Z/X}$

Pour X lisse et irréductible sur k, $Z \to X$ irréductible, fini et surjectif sur X, on note W la normalisée de X dans une extension galoisienne de $K(X)$ contenant le corps des fonctions $K(Z)$ de Z. Alors $\operatorname{Hom}_X(W, Z) \neq \emptyset$ et on pose (cf [SV96])

$$T_{Z/X} = \alpha_{W/X} \circ \Big(\sum_{q \in \operatorname{Hom}_X(W,Z)} q^* \Big) \quad ,$$

où $\alpha_{W/X} : \Omega^p_W(W) \to \Omega^p_X(X)$ est l'application définie ci-dessus (Remarque 2.2.).

Lemme 3.1.1 *L'application* $T_{Z/X}$ *ne dépend pas du schéma normal* W *choisi.*

Demonstration : considérons W_1 et W_2 deux schémas normaux sur X tels que les extensions $K(W_i)$ soient galoisiennes sur $K(X)$, $K(Z) \subset K(W_i)$ pour $i = 1, 2$ et tels qu'il existe une application $f : W_1 \to W_2$ finie et surjective. Il s'agit de montrer que le diagramme suivant est commutatif :

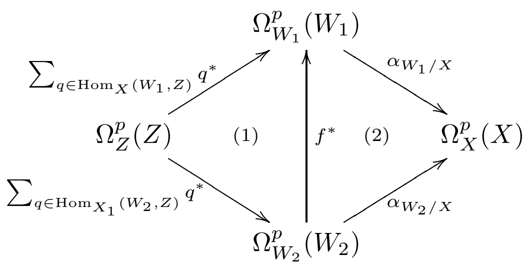

(1) comme Z est irréductible et $W_i \to X$ est un recouvrement pseudo-galoisien (au sens de [SV96]) tel que $\operatorname{Hom}_X(W_i, Z) \neq \emptyset$, l'application naturelle

$$\operatorname{Hom}_X(W_i, Z) \to \operatorname{Hom}_{K(X)}(K(Z), K(W_i))$$

est bijective et le cardinal de $\operatorname{Hom}_X(W_i, Z)$ est égal au degré séparable de l'extension $[K(Z) : K(X)]$ ([SV96], *lemme 5.7*), d'où le fait que l'application

$$\begin{array}{ccc} \operatorname{Hom}_X(W_2, Z) & \longrightarrow & \operatorname{Hom}_X(W_1, Z) \\ q & \longmapsto & q \circ f \end{array}$$

est une bijection et le triangle (1) commutatif.
(2) Puisque $f : W_1 \to W_2$ est un morphisme dominant entre schémas normaux , l'application

$$f^* : (\Omega^p_{W_2})^{**}(W_2) \to (\Omega^p_{W_1})^{**}(W_1)$$

existe par le théorème 2.1. On note G_1 (respectivement G_2) le groupe de Galois de $K(W_1)$ sur $K(X)$ (respectivement de $K(W_2)$ sur $K(X)$). On est dans la situation où $K(W_2) \subset K(W_1)$; le groupe G_2 est alors

un quotient de G_1 et l'extension $K(W_1)/K(W_2)$ est galoisienne de groupe de Galois $H = \{h \in G_1$ tel que $h(x) = x$ pour $x \in K(W_2)\}$. La fonctorialité s'exprime par la commutativité du diagramme suivant :

$$
\begin{array}{ccc}
 & (\Omega^p_X)^{**}(X) \simeq \Omega^p_X(X) & \\
 \swarrow{\scriptstyle\sim} & & {\scriptstyle\sim}\searrow \\
((\Omega^p_{W_1})^{**}(W_1))^{G_1} & & ((\Omega^p_{W_2})^{**}(W_2))^{G_2} \\
\uparrow{\scriptstyle \frac{1}{\sharp G_1}\sum_{g\in G_1} g^*} & & {\scriptstyle \frac{1}{\sharp G_2}\sum_{g\in G_2} g^*}\uparrow \\
(\Omega^p_{W_1})^{**}(W_1) & \underset{f^*}{\overset{\frac{1}{\sharp H}\sum_{h\in H} h^*}{\rightleftarrows}} & (\Omega^p_{W_2})^{**}(W_2) \xrightarrow{\sim} ((\Omega^p_{W_1})^{**}(W_1))^H \\
\uparrow & & \uparrow \\
\Omega^p_{W_1}(W_1) & \xleftarrow{\quad f^* \quad} & \Omega^p_{W_2}(W_2)
\end{array}
$$

◇

Remarque : ce dernier lemme est valable aussi sur un corps de caractéristique $p > 0$, auquel cas, on suppose simplement que l'extension $K(W)/K(X)$ est normale de degré non divisible par p et on modifie l'expression de $T_{Z/X}$ par (cf [SV96])

$$T_{Z/X} = [K(W) : K(X)]_{\text{insép}} \sum_{q \in \mathrm{Hom}_X(W,Z)} q^* \quad .$$

3.2 *Extension à Z non irréductible*

Soit Z un sous-schéma de $X_1 \times_k X_2$ fini et surjectif sur X_1 et notons Z_i pour $1 \leq i \leq d$, les composantes irréductibles de Z de multiplicités n_i. Le cycle associé à Z est alors $[Z] = \sum_{1 \leq i \leq d} n_i [Z_i]$ et on étend la définition précédente par linéarité :

$$T_{[Z]} = \sum_{1 \leq i \leq d} n_i T_{Z_i} : \Omega^p_{X_2}(X_2) \longrightarrow \oplus_{1 \leq i \leq d}\, \Omega^p_{Z_i}(Z_i) \xrightarrow{\sum_{1 \leq i \leq d} n_i T_{Z_i/X_1}} \Omega^p_{X_1}(X_1).$$

4 Composition des correspondances

Il reste à vérifier que le faisceau $\mathbf{\Omega}^p$, muni des transferts construits ci-dessus est un faisceau sur la catégorie Smcor(k).

Soient X_1, X_2 et X_3 des schémas lisses et irréductibles sur k, $Z \subset X_1 \times X_2$ un sous-schéma irréductible, fini et surjectif sur X_1 et $Z' \subset X_2 \times X_3$ un sous-schéma irréductible, fini et surjectif sur X_2. Par composition, on peut définir une application $T_{Z'} \circ T_Z : \Omega^p_{X_1}(X_1) \to \Omega^p_{X_3}(X_3)$.

D'autre part, si $p_{13} : X_1 \times X_2 \times X_3 \to X_1 \times X_3$ est la projection, on note $p_{13*}([Z \times_{X_2} Z']) = [Z'] \circ [Z]$ (composition des cycles au sens de [V00]) et le morphisme $p_{13*}(Z \times_{X_2} Z') \to X_1$ est fini et surjectif . Ceci permet de définir l'application

$$T_{[Z'] \circ [Z]} : \Omega^p_{X_1}(X_1) \to \Omega^p_{X_3}(X_3) \quad .$$

Proposition 4

Sous les notations précédentes, $T_{Z'} \circ T_Z = T_{[Z'] \circ [Z]}$.

La suite de ce chapitre est consacrée à la démonstration de cette proposition.

4.1 *Image directe*

Soit X un schéma lisse et irréductible sur k, Z' irréductible et $Z \xrightarrow{p} Z' \to X$ des morphismes finis et surjectifs. Notons Z_i les composantes irréductibles de Z, n_i leurs multiplicités et $d_i = [K(Z_i) : K(Z')]$.

Lemme 4.1.1 *Le diagramme suivant est commutatif*

$$\begin{array}{ccc} \oplus_{1\leq i\leq d}\Omega^p_{Z_i}(Z_i) & \xrightarrow{\sum_{1\leq i\leq d} n_i T_{Z_i/X}} & \Omega^p_X(X) \\ & {\nwarrow}^{p^*} \quad {\nearrow}_{T_{p_*([Z])}} & \\ & \Omega^p_{Z'}(Z') & \end{array}$$

avec $p_*([Z]) = \sum_{1\leq i\leq d} d_i n_i [p(Z_i)] = \sum_{1\leq i\leq d} d_i n_i [Z']$.

Demonstration : On introduit une normalisation W de X dans une extension galoisienne de $K(X)$ contenant à la fois $K(Z')$ et tous les $K(Z_i)$ et l'on se ramène à montrer que le triangle suivant, où $n = \sum_{1\leq i\leq d} n_i d_i$,

$$\begin{array}{ccc} \oplus_{1\leq i\leq d}\Omega^p_{Z_i}(Z_i) & \xrightarrow{\sum_{\substack{1\leq i\leq d \\ q_i\in \mathrm{Hom}_X(W,Z_i)}} n_i q_i^*} & \Omega^p_W(W) \\ & {\nwarrow}^{p^*} \quad {\nearrow}_{n\sum_{q'\in \mathrm{Hom}_X(W,Z')} q'^*} & \\ & \Omega^p_{Z'}(Z') & \end{array}$$

est commutatif.
Or, puisque W est normal et $W \to X$ est pseudo-galoisien, il en est de même de $W \to Z'$ et $\mathrm{Hom}_{Z'}(W, Z_i) = \mathrm{Hom}_{K(Z')}(K(Z_i), K(W))$ est de cardinal d_i ([SV96], *lemmes 5.3 et 5.7*). Tout $q' \in \mathrm{Hom}_X(W, Z')$ fixé induit une application $\mathrm{Hom}_{Z'}(W, Z_i) \to \mathrm{Hom}_X(W, Z_i)$ injective et la composée

$$\Omega^p_{Z'}(Z') \xrightarrow{p_i^*} \Omega^p_{Z_i}(Z_i) \xrightarrow{\sum_{q_i\in \mathrm{Hom}_X(W,Z_i)} q_i^*} \Omega^p_W(W)$$

est l'application $d_i q'^*$, d'où le résultat.$\diamond$

Consequence : le lemme s'applique dans la situation suivante. Pour X_1, X_2 et X_3 des schémas lisses et irréductibles sur k, $Z \subset X_1 \times X_2$ un sous-schéma irréductible, fini et surjectif sur X_1 et $Z' \subset X_2 \times X_3$ un sous-schéma irréductible, fini et surjectif sur X_2, notons Z_i, pour $1 \leq i \leq d$, les composantes irréductibles de $Z \times_{X_2} Z'$ de multiciplités n_i et de même Z'_j, pour $1 \leq j \leq f$, les composantes irréductibles de $p_{13}(Z \times_{X_2} Z')$ de multiciplicités n'_j. On a alors $[Z \times_{X_2} Z'] = \sum_{1\leq i\leq d} n_i [Z_i]$,

$$p_{13*}([Z \times_{X_2} Z']) = \sum_{1\leq i\leq d} n_i p_{13*}[Z_i] = \sum_{1\leq j\leq f} n'_j [Z'_j]$$

et la commutativité du diagramme

$$\begin{array}{ccc} \oplus_{1\leq i\leq d}\Omega^p_{Z_i}(Z_i) & \xrightarrow{\sum_{1\leq i\leq d} n_i T_{Z_i/X_1}} & \Omega^p_{X_1}(X_1) \\ & {\nwarrow}^{p_{13}^*} \quad {\nearrow}_{\sum_{1\leq j\leq f} n'_j T_{Z'_j/X_1}} & \\ & \oplus_{1\leq j\leq f}\Omega^p_{Z'_j}(Z'_j) & \end{array} .$$

4.2 *Composition*

Proposition 4.2.1 *Introduisons W' (resp W) une normalisation de X_2 (resp de X_1) dans une extension galoisienne de $K(X_2)$ (resp de $K(X_1)$) contenant $K(Z')$ (resp $K(Z)$ et $K(Z_i)$ pour tout i, $1 \leq i \leq d$), de groupe de Galois $G' = \mathrm{Gal}(K(W')/K(X_2))$ (resp $G = \mathrm{Gal}(K(W)/K(X_1))$). Le diagramme suivant est commutatif :*

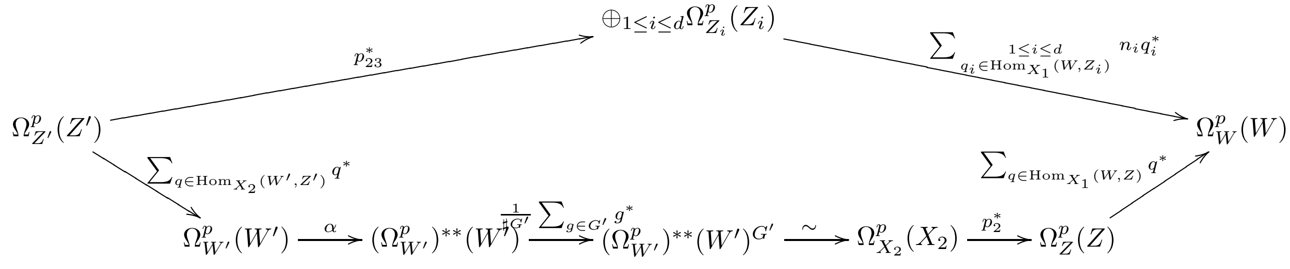

Demonstration : la démonstration suit pas-à-pas celle de [SV96]; il s'agit juste de vérifier qu'elle reste valable malgré le passage par le bidual.
Choisissons W'_0 une composante irréductible de $W' \times_{X_2} Z$ et prenons W la normalisation de W'_0 dans une extension galoisienne de $K(X_1)$ contenant $K(W'_0)$ et $K(Z_i)$ pour $1 \leq i \leq d$. Nous sommes dans la situation suivante, où les flèches verticales sont finies et surjectives sur une composante irréductible du but.

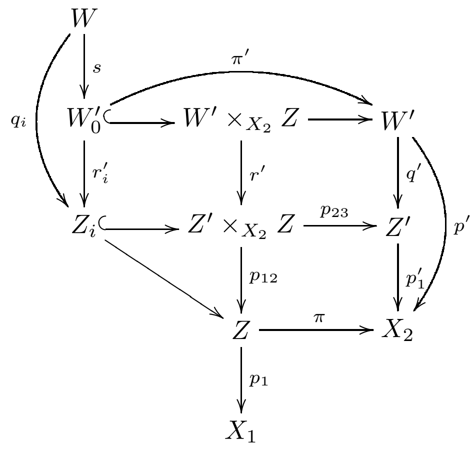

De plus,
– les flèches $\pi' : W'_0 \to W'$ et $p' = p'_1 \circ q' : W' \to X_2$ ne dépendent pas du choix de $q' \in \mathrm{Hom}_{X_2}(W', Z')$;
– pour chaque $q' \in \mathrm{Hom}_{X_2}(W', Z')$, il existe $r' : W' \times_{X_2} Z \to Z' \times_{X_2} Z$ unique par propriété universelle du produit fibré;
– comme W'_0 est irréductible, pour chaque r', il existe i, $1 \leq i \leq d$ unique tel que $r'(W'_0) = Z_i = r'_i(W)$ et r'_i est fini et surjectif.

Lemme 4.2.2 *Pour* $a \in \Omega^p_{Z'}(Z')$,

$$\sum_{q\in \mathrm{Hom}_{X_1}(W,Z)} q^* \circ p_2^* \circ T_{Z'/X_2}(a) = \frac{1}{[K(W'_0) : K(Z)]} \sum_{s\in \mathrm{Hom}_{X_1}(W,W'_0)} s^* \circ \pi'^* \circ p'^* \circ T_{Z'/X_2}(a).$$

Demonstration :

$$\sum_{q\in \mathrm{Hom}_{X_1}(W,Z)} q^* \circ p_2^* \circ T_{Z'/X_2}(a) = \sum_{q\in \mathrm{Hom}_{X_1}(W,Z)} s^* \circ \pi'^* \circ p'^* \circ T_{Z'/X_2}(a).$$

Par le lemme 5.9 de [SV96], on sait que W'_0/Z est pseudo-galoisien de groupe

$$G' = \mathrm{Hom}_{K(Z)}(K(W'_0), K(W'_0)) = \mathrm{Hom}_{K(Z)}(K(W'_0), K(W)) \quad ;$$

de plus, comme W est normal

$$\mathrm{Hom}_{X_1}(W,Z) = \mathrm{Hom}_{K(X_1)}(K(Z),K(W))$$

et

$$\mathrm{Hom}_{X_1}(W,W'_0) = \mathrm{Hom}_{K(X_1)}(K(W'_0),K(W)).$$

L'application

$$\begin{array}{ccc} \mathrm{Hom}_{K(X_1)}(K(W'_0),K(W)) & \longrightarrow & \mathrm{Hom}_{K(X_1)}(K(Z),K(W)) \\ s & \longmapsto & q = s_{|K(Z)} \end{array}$$

est surjective et ses fibres sont de cardinal $[K(W'_0):K(Z)]$. En effet, s et s' ont même image si et seulement s'il existe $t \in \mathrm{Hom}_{K(Z)}(K(W'_0),K(W'_0))$ tel que $s' = s \circ t$ et $\mathrm{Hom}_{K(Z)}(K(W'_0),K(W'_0))$ est de cardinal $[K(W'_0):K(Z)]$.
On en déduit le lemme.$\diamond$

Lemme 4.2.3

$$p'^* \circ T_{Z'/X_2}(a) = \sum_{q' \in \mathrm{Hom}_{X_2}(W',Z')} q'^*(a) \quad .$$

Demonstration : Rappelons que $p'^* \circ T_{Z'/X_2}(a) = p' * \circ (\frac{1}{\sharp G'} \sum_{g\in G'} g^*) \circ \alpha \circ \sum_{q \in \mathrm{Hom}_{X_2}(W',Z')} q^*$. Par fonctorialité $g^* \circ \alpha = \alpha \circ g^*$ pour $g \in G' = \mathrm{Hom}_{X_2}(W',W')$; d'autre part, le noyau de α est $(\Omega^p_{W'})_{\mathrm{tors}}$ et, comme X_2 est lisse, $\Omega^p_{X_2}(X_2)$ n'a pas de torsion, on en déduit que la composée

$$\begin{array}{ccccc} \Omega^p_{W'}(W') & \xrightarrow{\alpha} & (\Omega^p_{W'})^{**}(W') & \xrightarrow{\frac{1}{\sharp G'}\sum_{g\in G'} g^*} & ((\Omega^p_{W'})^{**}(W'))^{G'} \\ & \nwarrow^{p'^*} & & & \downarrow \wr \\ & & & & \Omega^p_{X_2}(X_2) \end{array}$$

induit l'identité sur $\Omega^p_{X_2}(X_2)$, d'où le résultat.$\diamond$
On obtient alors

$$\sum_{q\in \mathrm{Hom}_{X_1}(W,Z)} q^* \circ p_2^* \circ T_{Z'/X_2}(a) = \frac{1}{[K(W'_0):K(Z)]} \sum_{\substack{s\in \mathrm{Hom}_{X_1}(W,W'_0) \\ q'\in \mathrm{Hom}_{X_2}(W',Z')}} s^* \circ \pi'^* \circ q'^*(a).$$

La fin du calcul repose sur le résultat suivant :

Lemme 4.2.4 *Pour i, $1 \le i \le d$, notons a_i le pull-back de a dans $\Omega^p_{Z_i}(Z_i)$, de telle sorte que $\pi'^* \circ q'^*(a) = \sum_{1\le i\le d} r_i'^*(a_i)$. Alors*

$$\sum_{\substack{s\in \mathrm{Hom}_{X_1}(W,W'_0) \\ q'\in \mathrm{Hom}_{X_2}(W',Z')}} s^* \circ \pi'^* \circ q'^*(a) = \sum_{\substack{1\le i\le d \\ r'_i\in \mathrm{Hom}_Z(W'_0,Z_i) \\ q_i \in \mathrm{Hom}_{X_1}(W,Z_i)}} n_i [K(W'_0):K(Z_i)] {q_i}^*(a_i).$$

Demonstration :
Dans notre situation, les résultats de [SV96] (5) s'appliquent, d'où
i) $n_i = \{q' \in \mathrm{Hom}_{X_2}(W',Z')$ tel que $q' \mapsto r'_i\}$,
ii) $[K(Z'] : K(X_2)] = \sum_{1\le i\le d} n_i [K(Z_i):K(Z)]$ et
iii) $\mathrm{Hom}_Z(W'_0,Z_i) = \mathrm{Hom}_Z(W,Z_i)$.
On peut transformer l'expression

$$\sum_{\substack{s\in \mathrm{Hom}_{X_1}(W,W'_0) \\ q'\in \mathrm{Hom}_{X_2}(W',Z')}} s^* \circ \pi'^* \circ q'^*(a) = \sum_{s\in \mathrm{Hom}_{X_1}(W,W'_0)} \sum_{\substack{1\le i\le d \\ r'_i\in \mathrm{Hom}_Z(W'_0,Z_i)}} n_i s^* \circ r_i'^*(a_i).$$

Chaque $r_i' \in \mathrm{Hom}_Z(W_0', Z_i)$ définit un plongement $r_i' : K(Z_i) \hookrightarrow K(W_0')$ et une application

$$\begin{array}{ccc} \mathrm{Hom}_{K(X_1)}(K(W_0'), K(W)) & \longrightarrow & \mathrm{Hom}_{K(X_1)}(K(Z_i), K(W)) \\ s & \longmapsto & s_{|K(Z_i)} = s \circ r_i' = q_i \end{array} ,$$

dont les fibres sont de cardinal $[K(W_0') : K(Z_i)]$, d'où le lemme.$\diamond$

Pour achever la démonstration de la proposition et conclure, il suffit de remarquer que $[K(Z_i) : K(Z)]$ et $\mathrm{Hom}_Z(W, Z_i)$ ont même cardinal.

Consequences : $i)$ La construction des transferts ci-dessus commute avec la différentielle et on obtient un complexe de faisceaux de Nisnevich avec transferts, objet de $D(\mathrm{Shv}_{Nis}(\mathrm{Smcor}(k)))$, noté $\mathbf{\Omega}^\bullet$ et appelé *complexe motivique de De Rham*.
$ii)$ De plus pour tout n entier, considérons

$$\tau_{\leq n}\mathbf{\Omega}^\bullet : \mathbf{\Omega}^1 \to \cdots \to \mathbf{\Omega}^{n-1} \to \mathrm{Ker}\, d,$$

le complexe tronqué. C'est un complexe borné supérieurement de faisceaux de Nisnevich avec transferts, dont la cohomologie est invariante par homotopie, ce qui en fait un objet de $\mathbf{DM}^{-,\mathrm{eff}}(k)$.

5 Réalisation de De Rham

Definition 5.1 La *réalisation de De Rham* d'un motif effectif $\mathbf{M}$ objet de $\mathbf{DM}^{-,\mathrm{eff}}(k)$ est le k-espace vectoriel gradué dont le terme de degré q est

$$\mathbf{H}^q_{DR}(\mathbf{M}) = \varinjlim_n \mathrm{Hom}_{\mathbf{DM}^{-,\mathrm{eff}}(k)}(\mathbf{M}, \tau_{\leq n}\, \mathbf{\Omega}^\bullet[q]).$$

Remarques 5.2 :
$i)$ Le foncteur $H^\bullet_{DR}$ ainsi construit, limite inductive filtrante de foncteurs Hom, est un foncteur homologique.
$ii)$ Si $\mathbf{M}$ est le motif $\mathbf{M}(X)$ d'un schéma X lisse sur k, de dimension inférieure ou égale à n, alors

$$\mathbf{H}^q_{DR}(\mathbf{M}(X)) = \mathrm{Hom}_{\mathbf{DM}^{-,\mathrm{eff}}(k)}(\mathbf{M}(X), \tau_{\leq n}\, \mathbf{\Omega}^\bullet[q])$$

et

$$\mathrm{Hom}_{\mathbf{DM}^{-,\mathrm{eff}}(k)}(\mathbf{M}(X), \tau_{\leq n}\, \mathbf{\Omega}^\bullet[q]) = \mathbf{H}^q_{Nis}(X, \tau_{\leq n}\, \mathbf{\Omega}^\bullet) = \mathbf{H}^q_{Zar}(X, \mathbf{\Omega}^\bullet) = \mathbf{H}^q_{DR}(X)$$

(cf [V00], propositions 3.1.9 et 3.1.12) et l'on voit ainsi que $\mathbf{H}^q_{DR}(\mathbf{M}(X))$ est le q-ième groupe de cohomologie de De Rham de X.

Proposition 5.2 $a)$ *La réalisation de De Rham du motif de Tate est* $H^0_{DR}(\mathbf{Z}(1)) = k$ *et* $H^p_{DR}(\mathbf{Z}(1)) = 0$ *pour* $p \neq 0$.
$b)$ *La réalisation de De Rham induit un foncteur de la catégorie* $\mathbf{DM}^-(k)$ *dans la catégorie des* k*-espaces vectoriels gradués.*

Demonstration
$a)$ Cela découle directement du triangle distingué $(\mathbf{Z}(1))[2] \to \mathbf{M}(\mathbf{P}^1) \to \mathbf{Z} \to \mathbf{Z}(1)[1]$.
$b)$ Par le théorème de simplification de Voevodsky ("cancellation theorem" cf [MVW]16.25), on a des isomorphismes $\mathrm{Hom}_{\mathbf{DM}^{-,\mathrm{eff}}(k)}(\mathbf{M}(p), (\tau_{\leq n}\, \mathbf{\Omega}^\bullet[q]) \otimes \mathbf{Z}(p)) = \mathrm{Hom}_{\mathbf{DM}^{-,\mathrm{eff}}(k)}(\mathbf{M}, \tau_{\leq n}\, \mathbf{\Omega}^\bullet[q])$ pour un objet M de $\mathbf{DM}^{-,\mathrm{eff}}(k)$ et tout entier $p \geq 1$, ce qui permet d'étendre le foncteur aux complexes motiviques non effectifs en posant

$$\mathbf{H}^q_{DR}(\mathbf{M}) = \varinjlim_n \mathrm{Hom}_{\mathbf{DM}^{-,\mathrm{eff}}(k)}(\mathbf{M}(p), \tau_{\leq n}\, \mathbf{\Omega}^\bullet[q] \otimes \mathbf{Z}(p)),$$

pour p assez grand. $\diamond$

Proposition 5.3 *La réalisation de De Rham présentée ici coïncide avec celle définie par A. Huber sur la catégorie des motifs géométriques.*

Demonstration : c'est une conséquence de la proposition 2.1.2 de [H00] et du fait que, pour un schéma projectif lisse, la réalisation de De Rham du motif associé coïncide avec la composante de De Rham du foncteur de [H00]. ⋄

Bibliographie

[H00] Huber, Annette. — Realization of Voevodsky's motives, *Journal of Algebraic Geometry*, **9**, (2000), no 4, 755–799.

[H95] Huber, Annette. — Mixed motives and their realization in derived categories, *Lecture Notes in Mathematics*, **1604**, Springer-Verlag, Berlin, (1995).

[K73] Knighten, Carol M. — Differentials on quotients of algebraic varieties, *Transactions of the American Mathematical Society*, **177**, (1973), 65–89.

[LW] Lecomte, Florence - Wach, Nathalie. — Réalisations des complexes motiviques de Voevodsky, *en préparation.*

[Ma] Matsumura, Hideyuki. — Commutative ring theory, *Cambridge Studies in Advanced Mathematics*, **8**, Cambridge University Press, Cambridge, (1989).

[Mi] Milne, James S.. — Étale cohomology, *Princeton Mathematical Series*, **33**, Princeton University Press, Princeton, N.J., (1980).

[MVW] Mazza, Carlo - Voevodsky, Vladimir - Weibel, Charles. — Lecture notes on motivic cohomology, *Clay Mathematics Monographs*, **2**, American Mathematical Society, Providence, RI, (2006).

[N89] Nisnevich, Ye. A.. — The completely decomposed topology on schemes and associated descent spectral sequences in algebraic K-theory, **in** Algebraic K-theory : connections with geometry and topology (Lake Louise, AB, 1987), *NATO Adv. Sci. Inst. Ser. C Math. Phys. Sci.*, **279** , Kluwer Acad. Publ., Dordrecht, (1989), 241–342.

[SV96] Suslin, Andrei - Voevodsky, Vladimir. — Singular homology of abstract algebraic varieties, *Inventiones Mathematicae*, **123**, (1996), no 1, 61–94.

[V00] Voevodsky, Vladimir. — Triangulated categories of motives over a field, **in** Cycles, transfers, and motivic homology theories, *Ann. of Math. Stud.*, **143** , Princeton Univ. Press, Princeton, NJ, (2000), 188–238.